

تأثير المجال المغناطيسي الشمسي على أطیاف الطاقة المتكاملة المقاسة للألكترونات والبروتونات والأشعة السينية المنبعثة من الشمس

The Effect of Solar Magnetic Field on The Measured Integral Energy Spectra of Solar Electrons , Protons and X–Rays

رباب سعدون عبدون الدعمي
جامعة بابل / كلية العلوم / قسم الفيزياء

الملخص :

في هذا البحث تم اعتماد الرسومات plots المتوفرة من أرصاد القمررين الصناعيين [GOES11&12] NOAA/GOES خلال الفترة الزمنية من 9 الى 12 من شهر تشرين الثاني للعام 2006 ، لغرض دراسة تأثير المجال المغناطيسي للشمس على طيف الطاقة المتكاملة للألكترونات والبروتونات المنبعثة منها وكذلك على الأشعة السينية المتولدة من تفاعلات الألكترونات مع المجال المغناطيسي في طبقة الأكليل للشمس. لقد أظهرت النتائج ومن خلال الرسوم البيانية التي تم الحصول عليها من معالجة البيانات المستحصلة من القمررين الصناعيين ، أنه كلما ازدادت قيمة المعامل K_p يحصل خسارة بأعداد كبيرة من الألكترونات بسبب انحرافها بتأثير المجال المغناطيسي ورجوعها إلى طبقة الكروموسفير للشمس من دون أن تساهم في فيض الألكترونات الخارجة من الشمس وهذا يسبب زيادة في فيض الأشعة السينية المتولدة. أما بالنسبة لطيف البروتونات ذات الطاقة العالية المنبعثة من الشمس يكون أكبر من تلك ذات الطاقة الواطئة بسبب تأثير المجال المغناطيسي عليها . وفيما يخص العلاقة ما بين H_p و K_p فقد بينت الدراسة أن العلاقة بينهما آنية ولا تخضع لعلاقة رياضية معينة .

Abstract :

Observations provided by the satellites NOAA/GOES [GOES11&12] during November,2006, have been used to study the effect of solar magnetic field on the integral energy spectra of the emitted solar electrons, protons and the generated x – rays in the corona region of the sun.

The results indicate that, the increased value of K_p causes great loss in the emitted electrons, due to the shifted back process towards the Sun's chromosphere , which causes also the reduction in the generation of X-rays flux, whiles the spectra of the emitted high energy protons shows an increament with respect to that of the low energy protons , due to the effect of magnetic field.

The study shows also that, the relation between H_p and K_p is of random behaviour, and there was no existence for a systematic mathematical relation.

المقدمة :

الشمس ماهي الا كرة من البلازما ذات كثافة تبلغ حوالي 2×10^{30} كيلوغرام وهي تعتبر نجم نموذجي متوسط العمر والحجم مشابه لملايين النجوم الموجودة في الكون ، وتقع الشمس في منتصف التتابع الرئيس. ان 74 % من كتلتها عبارة عن هيدروجين و 25 % هيليوم والسبة الباقية عبارة عن كميات شحيلة لعناصر أثقل. والشمس ذات عمر يقارب من 4.57×10^9 سنة وتعتبر الشمس ماكنة لتوليد طاقة هائلة تصل لحوالي 3.8×10^{23} كيلو جول لكل ثانية. والمصدر الأساسي لهذه الطاقة هو التفاعل الأندرجي النووي، حيث تندمج أربع ذرات من الهيدروجين لتوليد نواة هيليوم وتحرير طاقة تمثل فرق الكتلة ما بين كتلة ذرات الهيدروجين الأربع وكتلة نواة الهيليوم المتولدة حسب نظرية أينشتاين النسبية. وتحتاج الشمس الى ما يقارب 5×10^7 سنة لتصل طاقتها من المركز (الباطن الشمسي) الى سطحها الخارجي بعد أن تعاني هذه الطاقة من الإمتصاص و إعادة الإبعاث خلال مسيرتها. ان عملية الإندرجي النووي المستمرة في الباطن الشمسي تؤدي الى ابعاث اشعاع كهر ومغناطيسي بأطوال موجية مختلفة ومادة ، هي المادة المنبعثة (المقوفة) من الشمس والتي تتحول الى ما يعرف بالرياح الشمسية و التي تزداد حدتها في فترات معينة تسمى فيها الشمس بالنشاط العالمي . ويكون الجو الشمسي (atmosphere) من عدة طبقات هي أولاً الطبقة المرئية والتي تدعى بالفوتوفير وهي ذات درجة حرارة مقاربة الى 6000 درجة كلفنية والطبقة الثانية التي تلي هذه الطبقة هي طبقة الكروموسفير (الطبقة اللونية) والتي تمر الطاقة عبرها من مركز الشمس باتجاه الخارج وتزداد درجة حرارتها من 4500 الى مئة ألف درجة كلفنية . وهناك الكثير من الظواهر الشمسية مثل ما يعرف بالصياخيد (faculae) والشواظ الشمسي (flares) تتولد في هذه الطبقة ، وكذلك يراها ما يعرف بالبقع الشمسية (sunspots) التي يتزامن وجودها و عددها مع دورات النشاط الشمسي . والطبقة الثالثة العليا هي طبقة الأكليل والتي تظهر فيها الألسنة اللامعة التي تدعى بالتأججات (prominences) . وتمتد المنطقة الخارجية من الأكليل بعيداً في الفضاء والمتضمنة الجسيمات المشحونة التي تتنقل ببطء مبتعدة عن الشمس ، ويمكن ملاحظة ذلك خلال الكسوف الكلي للشمس باستخدام مرشحات معينة خلال الرصد . وتصل درجة حرارة طبقة الأكليل الى الملايين من الدرجات الكلفنية . [1,2,3,4]

وتدعى المنطقة التي تقع ما بين الشمس والكواكب بوسط ما بين الكواكب ، وممكن اعتبارها منطقة فراغ مثالي لأنفاق الرياح الشمسية التي تتساب فيها بسرعة تتراوح ما بين 250 و 1000 كيلو متر لكل ثانية . والخصائص الأخرى للرياح الشمسية مثل (الكثافة ، والتركيب ، وشدة المجال المغناطيسي) تتغير تبعاً لغير ظروف الشمس . ويمكن رؤية تأثير الرياح الشمسية من خلال معانينة ذيل المذنبات حيث يتجه الذيل متبعاً عن الشمس عندما يقترب الذنب منها وذلك بسبب تأثير هذه الرياح الشمسية [5] .

التغيرات الشمسية (Solar Variation)

وهي تعني التذبذب في كمية الطاقة التي تبعثها الشمس . وقد رصدت تغيرات قليلة خلال العقود الحديثة . وتكمّن أهمية دراسة هذا الموضوع بسبب وجود تأثير لهذه التغيرات الشمسية على جو الأرض ومناخها وخصوصاً درجة الحرارة . إن الكمية المستلمة من الأشعاع الشمسي في الطبقات العليا للغلاف الجوي للأرض لا تغير بشكل كبير عن معدل القيمة والتي تسلوي 1366 واط لكل متر مربع [6] . وإن التغير في الكمية الكلية للطاقة الخارجية من الشمس هو طفيف جداً مقارنة بالطاقة الكلية الخارجة . ومن خلال دراسة التغير في الطاقة الكلية الخارجية من الشمس وجد أنها تتغير وفق دورة ذات 11 سنة ، والتي تدعى بدوره البقع الشمسية . وقد وجد خلال الدورتين الأخيرتين أن هناك تغير بالطاقة الكلية المنبعثة من الشمس مساوياً إلى 0.1% أي حوالي 1.3 واط لكل متر مربع [7] أثناء القمة لدورة البقع الشمسية . ومن خلال الدراسات التي أجريت في العام 2006 واجراء مسح الدراسات السابقة وجد أنه لا توجد زيادة صافية في النورانية الشمسية منذ منتصف سبعينيات القرن الماضي . وإن التغير بالطاقة الخارجية من الشمس خلال الـ 400 سنة الأخيرة لم يكن تأثيره متشابه في عملية رفع درجة الحرارة الشاملة [9, 10] .

إن النشاط الشمسي يكون مرتبطة بدورات البقع الشمسية والتي بدورها تؤثر على المجال المغناطيسي للشمس ، أي أن الزيادة بعدد هذه البقع عند قمة الدورة الشمسية تكون متزامنة بمجال مغناطيسي عالي . والشمس تمتلك مجالاً مغناطيسياً ذو قطبين شمالي وجنوبي مثل أي قضيب مغناطيسي [11] . وبعد 22 سنة من بداية الدورة الشمسية تتعكس قطبية المجال المغناطيسي للشمس . والبقع الشمسية ما هي إلا مناطق داكنة نسبياً تقع في سطح الشمس (الفوتوفير) وهي ذات درجة حرارة أبداً من معدل درجة حرارة السطح . وعدد هذه البقع يكون مرتبطة بشدة مع الأشعاع الشمسي . ولهذه البقع دورات يتم خلالها الزيادة التدريجية بعدد البقع إلى أن تصل القيمة العظمى (القمة) بعد 11 سنة من بداية الدورة ثم تبدأ بالنقصان إلى أن تصل إلى أدنى قيمة (القعر) بعد 22 سنة من بداية الدورة ، وهذه الزيادة والنقصان بعد البقع تؤثر كثيراً على المجال المغناطيسي للشمس وتبعاً لذلك تتأثر كمية وطاقة الأشعاع المنبعث من الشمس والمادة المقتوفة من الشمس خلال الرياح الشمسية ، والتي هي عبارة عن جسيمات مشحونة (الكترونات ، وبروتونات وغيرها) ذات طاقات معينة تقذف من الشمس ويزداد عددها وطاقتها في فترات النشاط الشمسي . ومن الجدير بالذكر أن القيمة العظمى لعدد البقع الشمسية لدورة البقع الحالية التي تحمل الدورة رقم 24 كانت في منتصف العام 2000 وقد بلغ عددها 170 بقعة [12] .

المعطيات والأقمار الصناعية (Online Data and Satellites)

وُجِدَ من خلال هذه الدراسة أن هناك مجموعة من الأقمار الصناعية المختلفة التي من الممكن استقاء المعطيات وبيانات منها ، وهذه الأقمار تدور جميعها حول الأرض في مدارات ذات ارتفاعات وأزمان دورية مختلفة . وجميعها تحتوي على كواشف للجسيمات (الألكترونات والبروتونات) ومحسّسات للاشعاع بمختلف الأطوال الموجية وكذلك تلسكوبات لمسح الفضاء . وقد وقع الاختيار على أقمار GOES والتي أشتقت اسمها من (Geostationary Operational Environmental Satellites) National Oceanic and Atmospheric Administration NOAA والتي تكتب اختصاراً NOAA / GOES وذلك لغزارة البيانات التي يمكن استخلاصها منها . وهذه المجموعة تضم عدداً من الأقمار التي تدور حول الأرض في مدار ذو ارتفاع 35790 كيلومتر فوق سطح الأرض وتكمّل دورة كاملة حول الأرض كل 24 ساعة ومنها القمران Goes11 وGoes12 . أن القمران Goes11 وGoes12 يقومان بتزويد الفلكيين بصورة بالأشعة السينية لطبيعة الفوتوفير للشمس ، وبيانات عن فيض الأشعة السينية ، وعدد وطاقة الجسيمات (الألكترونات والبروتونات) المنبعثة من الشمس لوحدة المساحة لوحدة الزمن لوحدة الزاوية المجمّسة [13] . ولمزيد من المعلومات حول منظومة الأقمار وموقعها راجع المصدر [14] .

معالجة المعطيات المأخوذة من أرصاد القمرتين [Goes 11 & Goes 12]

لقد تم اعتماد الأشكال البيانية المأخوذة من أرصاد القمرتين الصناعيين (Goes 11 & 12) لكل من المعامل K_p (estimated planetary K index) ، وفيض الألكترونات ، وفيض الأشعة السينية ، وفيض البروتونات المنبعثة من الشمس ، ومعامل المجال المغناطيسي للشمس H_p على التوالي والمسجلة مقابل الزمن بالتوقيت الدولي ولفترات زمنية المسغرقة ثلاثة أيام هي 9 و 10 و 11 من شهر تشرين الثاني للعام 2006 ، وقد تم الحصول على هذه الرسومات من صفحة الأنترنت [15] لغرض دراسة طبيعة تأثير المجال المغناطيسي الشمسي على الجسيمات المنبعثة من الشمس (الألكترونات والبروتونات) وعلى فيض الأشعة السينية الناتجة من تفاعل الألكترونات مع المجال المغناطيسي للشمس في طبقه الأكيل . وقد تم اختيار هذه الفترة الزمنية في هذه الدراسة بناءً على البيانات المأخوذة من الأقمار الصناعية (Goes 11 & 12) بعد اجراء مسح ومعانينة وتحمیص لفترات زمنية الأخرى ، حيث تتوافر في هذه الفترة الزمنية حالات المستويات الثلاثة للمجال المغناطيسي الشمسي معاً . وفي الفترة من 9 إلى 12 من شهر تشرين الثاني يتواجد المجال المغناطيسي بحالاته : هادئ (quiet) ومضطرب (disturbed) ونشط (active) وقبل هذه الفترة وبعدها لم يكن هناك توافق للمستويات الثلاثة معاً و حتى

أرصاد الفترة من 23 الى 27 من نفس الشهر. ويمكن الاستدلال على وجود هذه المستويات الثلاثة للمجال من خلال ألوان وارتفاع البلوكات الموجودة في مخطط القمرين ، بين المعامل K_p والزمن بالتوقيت الدولي، حيث أن البلوكات ذات اللون الأخضر والتي يكون فيها $K_p < 4$ تمثل المستوى الواطيء (low) للمجال ، واللون الأصفر حيث $4 \leq K_p < 4$ تمثل المستوى المتوسط (medium) للمجال ، واللون الأحمر حيث $K_p \geq 4$ تمثل المستوى العالي (high) للمجال ، أنظر المصدر [15] . ومن هذه الرسمات التي وفرها القمران الصناعيين (Goes11&12) ، تم استخلاص البيانات المتبعة في الجداول من (1) إلى (8)، والتي منها تم رسم البيانيات من الشكل رقم (1) إلى الشكل رقم (13) . وفي ما يلي خطوات الحصول على الجداول والرسوم البيانية أعلاه من خلال معالجة المعطيات التي تم استقراءها من أرصاد القمرين الصناعيين (Goes11&12) :

- ١- تم أخذ معدل القراءات لعدد الألكترونات المنبعثة من الشمس لوحدة المساحة لوحدة الزاوية المجمسة لكل قيمة من قيم K_p و لقياسات كل من القمرين (Goes 11 & 12) مقابل الفترة من 9 الى 12 من شهر تشرين الثاني للعام 2006 ، ومنها تم استخلاص الجدول رقم (1) ومن ثم رسم الشكل رقم (1) لقراءات القمر 11 Goes11 والشكل رقم (2) لقراءات القمر Goes 12 ، (الخط المتصل يمثل معدل التغير أما المنحنى المنقط فيمثل التغيرات الحقيقة) .
- ٢- تم حساب معدل الشدة مقابل قيم الطاقة المتكاملة للألكترونات المنبعثة من الشمس ولجميع حالات المجال المغناطيسي الشمسي الثلاثة، الهديء والمضطرب والنشط ، ولأرصاد كل من القمرين الصناعيين (Goes11&12) مقابل الفترة من 9 الى 12 من شهر تشرين الثاني للعام 2006 وكما هو مبين في الجدول رقم (2) . ومن ثم تم رسم العلاقة بينهما لقراءات القمر Goes 11 كما في الشكل رقم (3) ، ولقراءات القمر 12 Goes11 وكما مبين في الشكل رقم (4) .
- ٣- لقد تم حساب معدل القراءات لفيض الأشعة السينية المنبعثة من الشمس لكل قيمة من قيم K_p وكل من القمرين (Goes11&12) مقابل القرارات الزمنية المناظرة وكما هو مبين بالجدول رقم (3) ، ومنها تم رسم الشكل رقم (5) لقراءات القمر Goes11 ، والشكل رقم (6) لقراءات القمر 12 Goes12 ، (الخط المتصل يمثل معدل التغير و أما المنحنى المنقط فيمثل التغيرات الفعلية) .
- ٤- لقد تم حساب قيمة الطاقة المناظرة لقيم الأطوال الموجية للأشعة السينية المنبعثة من الشمس من خلال حساب معدل الأطوال الموجية λ لهذه الأشعة: فقد تم أولاً حساب معدل الأطوال الموجية القصيرة وكانت تساوي $(\lambda_{short} = 0.225 \text{ nm})$ ، في حين وجد أن معدل الأطوال الموجية الطويلة أنها تساوي $(\lambda_{long} = 0.45 \text{ nm})$ ثم بعد ذلك تم حساب الطاقات المناظرة لكل من $(\lambda_{short} \text{ و } \lambda_{long})$ من خلال تطبيق العلاقة الآتية : [16]

$$E(eV) = \frac{1240}{\lambda(nm)} \quad \dots \quad (1)$$

حيث أن E تمثل الطاقة بوحدات الألكترون فولت و λ تمثل متوسط الطول الموجي بوحدات النانومتر و هي تحسب من العلاقة $\lambda = (\lambda_1 + \lambda_2)/2 \quad \dots \quad (2)$

للمزيد حول كيفية الحصول على العلاقة رقم (1) راجع المصدر رقم (1) . وقد وجد أن الطاقة E_{low} المقابلة للطول الموجي λ أنها تساوي 2.756 KeV ، في حين أن الطاقة E_{high} المقابلة للطول الموجي λ_{short} فقد وجد أنها تساوي 5.511 KeV . وهكذا للأشعة السينية المنبعثة من الشمس وحسب قياسات القمران (Goes 11 & 12) توجد طاقتان واطنة وعالية وهما على التوالي 2.756 KeV و 5.511 KeV . حيث أن هذه الطاقات قد حسبت بوحدات كيلو الكترون فولت .

ـ لقد تم حساب معدل قيمة شدة الأشعة السينية المنبعثة من الشمس مقابل قيمتي الطاقة التي تم الحصول عليها من الخطوة رقم (4) ولحالات المجال المغناطيسي الثلاثة لقراءات القمرين (Goes 11 & 12) وكما هو مبين في الجدول رقم (4) . وقد تم رسم العلاقة بينهما لقياسات القمر Goes 11 وكما مبين في الشكل رقم (7) ولقراءات القمر 12 Goes12 وكما مبين في الشكل رقم (8) .

ـ لقد تم حساب التغيرات في قراءات القمر Goes 11 نسبة إلى قراءات القمر 12 Goes12 لقيم فيض الألكترونات المنبعثة من الشمس وكل من الطاقتين ($E > 2 \text{ MeV}$ و $E < 0.6 \text{ MeV}$) ، و لقيم فيض الأشعة السينية المنبعثة من الشمس وكل من قيمتي الطاقة (2.756 KeV و 5.511 KeV) ، مقابل الزمن بالساعات وكما هو مبين بالجدول رقم (5) . وقد تم تمثيل هذه العلاقة بيانياً للاكترونات كما في الشكل رقم (9) ، وللأشعة السينية بالشكل رقم (10) .

ـ لقد تم حساب معدل القراءات لعدد البروتونات المنبعثة من الشمس لوحدة المساحة لوحدة الزاوية المجمسة لكل قيمة من قيم K_p لأرصاد القمر Goes 11 (حيث لا تتوفر لدينا قراءات للقمر Goes 12 في هذه الحالة) مقابل نفس القرارات الزمنية المبينة في الخطوة رقم (1) ، وكما هو مبين بالجدول رقم (6) . ومن هذه القيم تم رسم الشكل رقم (11) .

ـ لقد تم حساب معدل قيم الشدة المقابلة لقيم الطاقة للبروتونات المنبعثة من الشمس لوحدة المساحة لوحدة الزاوية المجمسة ولحالات المجال المغناطيسي الثلاثة آنفة الذكر ، وكما هو مبين بالجدول رقم (7) . وقد تم تمثيل العلاقة بينهما بيانياً كما هومبين في الشكل رقم (12) .

٩- لقد تم حساب معدل قيم Hp الذي يعتبر مقياساً للمجال المغناطيسي الشمسي (magnetometer) المقابلة لكل قيمة من قيم Kp لقراءات القمررين (12 & 11 Goes) المقابلة لنفس الفترات الزمنية وكما هو مبين بالجدول رقم (8). وقد تم رسم العلاقة بينهما للحصول على الشكل رقم (13).

المناقشة :

١ - من معاينة الشكلين رقم (1) و (2) يتضح أن السلوكية تكون مشابهة لقراءات القمررين (Goes 11 & 12) من حيث اعتماد طيف الألكترونات المنبعثة من الشمس على قيم Kp ولكن قيمة الشدة تتغير بشكل طفيف حسب حسب قيم Kp . لقيمة Kp من ١ إلى ٢ يلاحظ وجود ارتفاع في أعداد الألكترونات المنبعثة لوحدة المساحة لوحدة الزمن من لوحة الزاوية المجمعة بالنسبة للألكترونات ذات الطاقة $E > 0.6\text{ MeV}$ ثم يتلاقص عدد الألكترونات تدريجياً عندما تزداد قيمة Kp . وبعدها أن هذه الزيادة ناتجة عن طرد المجالات المغناطيسية للشمس ذات الطبيعة السالبة للألكترونات فيزيولوجياً عند ارتفاع الألكترونات خارج الشمس ثم يتراجع هذا التأثير، أي أن هذا المنحنى في الواقع يعتمد بشكل أساسي على قطبية المجال المغناطيسي، فإذا كان سالباً فإنه يطرد الألكترونات و بذلك لا ترجع إلى الشمس بل تساهمن في زيادة فيض الألكترونات الخارجية من الشمس، بينما لو كان موجباً فإنه يسحب الألكترونات باتجاه الحلقات المغناطيسية الداخلية إلى الشمس أثناء التأججات الشمسيّة (Flares). إضافة لذلك فإن آية تغيرات في قيمة المجال المغناطيسي كمقدار، لها تأثير أيضاً على تعداد الألكترونات، و طبيعة التأثير بحالة المجال السالب مشابهة بالنسبة للألكترونات عند طاقات مختلفة و كما مبين في الشكلين (1) و (2)، فبرغم اختلاف قيمة Kp ما بين صفر و ٦ فإن الأعداد المسجلة لكل قيمة تتغير بشكل متوازي وهذا يدل على أن التغير في المجال المغناطيسي يسلك نفس السلوكية و التعامل بغض النظر عن طاقة الألكترونات.

٢ - من معاينة الشكلين رقم (3) و (4) نلاحظ وجود تأثير للمجال المغناطيسي واضح على عدد الألكترونات المنبعثة لوحدة المساحة لوحدة الزمن لوحدة الزاوية المجمعة والتي تمثل الشدة وكل طاقة من الطاقتين، فإذا ازداد عدد الألكترونات المنبعثة لوحدة المساحة لوحدة الزمن لوحدة الزاوية المجمعة الواسعة إلى متحسسات القمررين (Goes 11 & 12) فهذا يعني أن المجال المغناطيسي يدفعها باتجاه الأرض فتسجل في متحسسات القمررين، وإذا قلل هذا العدد المسجل فهذا يعني أن المجال المغناطيسي يرجعها إلى طبقة الكروموسفير للشمس فالوائل منها يكون قليل. فعليه تزداد الشدة عندما يكون المجال نشطاً ونقل عندما يكون هادئاً. والسلوكية مشابهة بالنسبة للقمررين.

٣ - من معاينة الشكلين رقم (5) و (6) نلاحظ أن التغيرات في قيمة الشدة للأشعة السينية عند الطاقة العالية 5.511 KeV تكون أقل بكثير من التغيرات عند الطاقة الأقل 2.756 KeV و السبب في ذلك هو أن الطاقات الواطئة ناتجة عن دخول الألكترونات ذات طاقة واطئة في المجال النووي الكولومي لذرة الهيدروجين في الشمس ، وكما لاحظنا من الشكلين (3) و (4) فإن أعداد الألكترونات ذات الطاقة الواطئة أعلى بكثير من أعدادها عند الطاقة العالية ولها يتوقع حصول تغيرات واضحة في فيض الأشعة السينية بسبب وجود هذه الأعداد الكبيرة من الألكترونات عند الطاقة الواطئة. فهكذا عندما يكون المجال هادئاً (يعني قيمة Kp واطئة) يكون هناك أعلى فيض ، وأقل فيض يحصل عندما يكون المجال نشطاً (أي عندما تكون قيمة Kp عالية) هذا بالنسبة للأشعة السينية ذات الطاقة الواطئة. أما بالنسبة للأشعة السينية ذات الطاقة العالية فيكون سلوك الفيض بالعكس رغم كون التغيرات بالفيض شبه محسوس. وهذه السلوكية تكون مشابهة بالنسبة للقمررين.

٤ - ومن معاينة الشكلين رقم (7) و (8) نجد أنه كلما ازدادت طاقة الأشعة السينية كلما تقل التغيرات في قيمة فيض الأشعة السينية فالتغيرات تكون غير محسوسة للأشعة ذات الطاقة العالية 5.511 KeV ، بينما عند الطاقة الواطئة 2.756 KeV فأن هناك تغيرات محسوسة وحسب حالة المجال المغناطيسي ، ويبدو من الشكلين حصول زيادة في قدرة الأشعة السينية المنبعثة لوحدة المساحة بزيادة مستوى المجال المغناطيسي هذا بالنسبة للأشعة السينية الضعيفة (soft x-ray) التي طاقتها تساوي 2.756 KeV ، أما الأشعة السينية القوية (hard x-ray) التي طاقتها تساوي 5.511 KeV فتبقى مستويات قدرتها ثابتة تقريباً بغض النظر عن تغير شروط و قوة المجال المغناطيسي لنفس الأسباب المبينة في النقطة رقم (3)، وهذه السلوكية تكون مشابهة بالنسبة للقمررين.

٥ - و من معاينة الشكلين رقم (9) و (10) يتضح أن القمررين (Goes 11 & 12) متوازيين في تسجيل تغيرات الشدة مع المجال وهذا يدل على أن استجابة الأجهزة في كلا القمررين تكون متواقة. ولكن هناك اختلافات في القيم الفعلية للشدة وهذا الاختلافات ناتجة من اختلاف في الأجهزة المستخدمة في القمررين من حيث سمك المادة المغلفة لها أو طبيعة المواد البنية الموجودة وهذا يسبب امتصاص للألكترونات في إطار الأجهزة المسجلة أو المادة العازلة المحيط بها . وال المجالات المغناطيسية ذات قيم متغيرة بشكل دائم ما عدا عند الطاقات العالية فلا يمكن للمجال المغناطيسي أسر الجسيمات ذات الطاقة العالية لذا يمكن و صولها للأقمار الصناعية التي تدور حول الأرض و قياسها من دون أن يؤثر عليها المجال المغناطيسي.

٦ - من معاينة الشكل رقم (11) يتضح انه عندما تكون قيمة Kp واطئة يكون فيض البروتونات المنبعثة من الشمس واطئاً، ثم تبدأ بالزيادة مع زيادة قيمة Kp . لكن البروتونات ذات الطاقة الواطئة يكون تأثيرها أكبر ، أي أن هناك فرصه للمجال لطرد البروتونات مما يدل على أن المجال موجباً فيزيد عدد البروتونات الخارجية بسبب من المجال لها من دخول طبقة الكروموسفير. بينما بزيادة الطاقة يكون الارتفاع في عدد البروتونات المنبعثة لوحدة المساحة لوحدة الزمن لوحدة الزاوية المجمعة بزيادة قيمة Kp أقل مما لتلك ذات الطاقة الواطئة . وهذا يدل على أن المجال المغناطيسي الموجب يتناقض مع البروتونات ذات الطاقة العالية ويرجعها إلى فضاء ما بين الكواكب و لكن بقيمة أقل من تلك لتلك ذات الطاقة الواطئة . تستنتج من ذلك زيادة فيض البروتونات بزيادة Kp بالنسبة للبروتونات ذات الطاقة العالية ويكون التأثير أكبر بالنسبة للبروتونات ذات الطاقة الواطئة .

7 - من معانينة الشكل رقم(12) يتضح التأثير الشديد لعدد البروتونات المنبعثة لوحدة المساحة لوحدة الزاوية المجمسة، والتي تمثل الشدة ، بحالة المجال المغناطيسي فنرداد بزيادة قيمة Kp ولكن البروتونات ذات الطاقة الألوط تكون أكثر تأثيراً من تلك ذات الطاقات الأعلى لنفس الأسباب المبينة في النقطة رقم 6.

8 - من معانينة الشكل رقم (13) نلاحظ أن Hp يتغير مع Kp بشكل غير مننظم و يعتمد على قيمة المجال ، و هذا التغير غير ممكن تصوّره أي أنه لا يخضع لعلاقة رياضية معينة بل هو تغيير آني وغير مسيطر عليه على الاطلاق بل يتبع القيم الآنية للمجال المغناطيسي.

وفي الشكل رقم (13) وضعت قياسات كل من (Goes 11 & 12) ويوضح من هذه القياسات أن ما يسجل من قيم L و Kp في الحالتين تسير بشكل متوازي و حسب تغير المجال ، أي أن الاستجابة للأجهزة و كذلك القياسات المستخرجة تتغير في كلا القمررين بنفس التأثير صعوداً و نزولاً و لهذا يمكن استخدام أي من القمررين لقياس المجال المغناطيسي أو معاملات المجال المغناطيسي Hp و Kp .

الاستنتاجات :

لقد أظهرت النتائج ومن خلال الرسوم البيانية التي تم الحصول عليها من معالجة البيانات المستحصلة من الرسومات آنفة الذكر للقمررين الصناعيين (GOES 11 & 12) ، أنه كلما ازدادت قيمة المعامل Kp يحصل خسران بأعداد كبيرة من الالكترونات بسبب انحرافها بتأثير المجال المغناطيسي ورجوعها إلى طبقة الكروموسفير للشمس من دون أن تساهم في فيض الالكترونات الخارجية من الشمس ، وهذا يسبب زيادة في فيض الأشعة السينية المتولدة. أما بالنسبة لطيف البروتونات ذات الطاقة العالية المنبعثة من الشمس يكون أكبر من تلك ذات الطاقة الواطئة بسبب تأثير المجال المغناطيسي عليها . وفيما يخص العلاقة ما بين Kp و Hp فقد بينت الدراسة أن العلاقة بينهما آنية ولا تخضع لعلاقة رياضية معينة . كما ويستنتج من هذه الدراسة أن الشمس في هذه الفترة تمر بمرحلة هدوء ، أي أن دورة البقع الشمسية متوجهة نحو النهاية الصغرى . وهذه النتيجة تتوافق تماماً مع التنبؤات النظرية لدورات البقع الشمسية والتي تتوقع أن تصل لأدنى قيمة لها في عام 2008 لتبدأ بعدها بدوره نشاط جديدة [12] .

References

- 1.<http://www.Solarview.com/eng/sun.htm> , 2006 .
- 2.<http://www.spacetoday online>, 2001 .
- 3.David H. , Marshall space Flight Center/solar physics January 18, 2007.
- 4.Bonanno, A., Schlattl, H., Paterno, L., The age of the sun and the relativistic correction in the EOS. , Astronomy and Astrophysics,v.390 , p. 1115-1118 , 2002 .
- 5.<http://www.primer on the solar space environment.htm>. , November 22, 2006 .
- 6.<http://www.pmodwrc.ch/pmod.php?topic=tsi/composite/solar constants>. October 5, 2005 .
- 7.http://www.grida-no/climate/ipcc_tar/wgl/244.htm., March 10, 2005 .
- 8.<http://www.aip.org/histor/climate/solar.htm> . February 21, 2005 .
- 9.[http://www. terradaily.com," Changes_In_Solar_Brightness Too Weak To Explain"](http://www. terradaily.com,) , 2006.
10. http://eu.wikipedia.org/wiki/solar_varition,February 8,2007 .
11. <http://www.physics.unlv.edu/~jeffery/astro/astro 1/lec008.html>, March 11, 2005 .
12. <http://www.NOAA/SEC/ISES Solar Cycle F10.7cm Radio Flux Progression . html> , December 31,2006 .
13. LakuWani Ladu,Unpublished MSc.Thesis , "The Prospects of Solar Physics Research using the NOAA/POES & NOAA/GOES" , Juba University ,Sudan, 2005 .
14. <http://rsd.gsfc.nasa.gov/goes/text/goes.databook.html>, Revison1,1996.
15. <http://www.solarphysics.sec.noaa.gov./html> , 2006 .
16. Beiser, A., " Concepts of Modern Physics " , TOKYO: McGRAW _ HiLL 1976 . 2 vols.

جدول رقم (١) : يبين قيم فيض الالكترونات مقابل المعامل K_p تبعا لقياسات كل من القمررين الصناعيين Goes11 و Goes12 .

Kp	Electron Flux according to Goes 11(electrons/cm ² .Sr. sec)		Electron Flux according to Goes 12(electrons/cm ² .Sr. sec)	
	E =0.6MeV	E =2 MeV	E =0.6MeV	E =2 MeV
0.1	160	42000	75	22500
1	88	20000	220	39500
2	6950	832500	2287	420000
3	2817	388750	1557	251500
4	504.495	109053	596.3	106828
5	9.06	45305	22	75000
6	1.785	9300	7.75	9337

جدول رقم (٢) : يبين قيم الشدة مقابل قيم الطاقة المتكاملة للإلكترونات تبعا لقياسات كل من القمررين الصناعيين Goes12 و Goes11 .

E (MeV)	I(> E)for electrons according to Goes11 (electrons/cm ² .Sr. sec)			I(> E)for electrons according to Goes12 (electrons/cm ² .Sr. sec)		
	Kp< 4	Kp = 4	Kp>4	Kp< 4	Kp = 4	Kp>4
0.6	42000	109053	45305	22500	106828	9337.5
0.6	20000		9300	39500		75000
0.6	83250			251500		
0.6	388750			420000		
2	160	504.5	9.06	75	79501	7.75
2	88		1.785	220		22
2	6950			1557		
2	2817			22875		

جدول رقم (٣) : يبين قيم فيض الأشعة السينية مقابل قيم المعامل K_p تبعا لقياسات كل من القمررين الصناعيين Goes12 و Goes11 .

Kp	X-Rays Flux according to Goes 11 (Watts/m ²) x 10 ⁻⁹		X-Rays Flux according to Goes 12 (Watts/m ²) x 10 ⁻⁹	
	E=2.756 KeV	E=5.511KeV	E=2.756 KeV	E=5.511KeV
0.1	95	4.4	205	9
1	95	1.35	110	1.25
2	122.5	8.35	355	22.03
3	95.38	6.54	124.38	6.58
4	99.63	6.03	167.38	8.56
5	80	12.6	90	2.65
6	80	10.35	98.75	5.55

جدول رقم (٤) : يبين قيم الشدة مقابل قيم الطاقة المتكاملة للأشعة السينية تبعا لقياسات كل من القمرين الصناعيين Goes11 و Goes12 .

E (KeV)	I(>E) for X-Rays according to Goes 11 (Watts/m ²)x10 ⁻⁹			I(>E) for X-Rays according to Goes 12 (Watts/m ²)x10 ⁻⁹		
	Kp<4	Kp=4	Kp>4	Kp<4	Kp=4	Kp>4
2.756	95	99.63	80	205	167.38	90
2.756	95		80	110		98.75
2.756	122.5			355		
2.756	95.38			12.38		
5.511	4.4	6.03	12.6	9	8.56	2.65
5.511	1.35		10.35	1.25		5.55
5.511	8.35			22.03		
5.511	6.54			6.58		

جدول رقم (٥) : يبين قيم قياسات (Goes11 / Goes12) مقابل قيم الزمن وكل من فيض الالكترونات وفيض الأشعة السينية .

Date (hour)	(Goes 11/Goes12) measurements for electrons flux		(Goes 11/Goes12) measurements for X-Rays flux	
	E=0.6MeV	E=2MeV	E=2.756KeV	E=5.511KeV
3	1.8666	2.1333	0.4889	0.4634
6	1.8666	2.1333	0.4889	0.4634
9	1.8666	2.1333	0.4889	0.4634
12	1.8666	2.1333	0.4889	0.4634
15	0.5063	0.4000	1.0800	0.8636
18	0.8571	0.4205	1.2380	0.8571
21	1.0038	0.9968	1.1444	0.9091
24	1.0038	0.9968	1.1444	0.9091
27	4.7671	0.0749	1.2000	0.7436
30	1.4118	0.0760	1.0783	0.8000
33	1.2592	0.1729	0.7094	0.8718
36	0.9655	0.5109	2.7103	0.8205
39	0.6041	0.4118	4.7547	0.8889
42	1.9167	3.0662	3.4884	0.8108
45	1.9167	3.0662	3.4884	0.8108
48	2.7105	5.3333	0.2865	0.2857
51	2.3585	3.0682	1.2428	0.8400
54	1.0208	0.8161	0.5589	0.3666
57	1.0208	0.8161	0.5589	0.3666
60	1.0208	0.8161	0.5589	0.3666
63	1.0208	0.8161	0.5589	0.3666
66	1.3846	1.8860	1.2808	0.6371
69	1.3846	1.8860	1.2808	0.6371
72	1.7692	3.0000	0.4440	0.3924

جدول رقم (٦) : يبين قيم فيض البروتونات مقابل قيم المعامل K_p تبعا لقياسات القمر الصناعي Goes11 .

Kp	Protons Flux (proton/cm ² .Sr.Sec)		
	E=10 MeV	E=50 MeV	E=100 MeV
0.1	0.420	0.160	0.199
1	0.200	0.118	0.079
2	0.265	0.082	0.049
3	0.403	0.143	0.078
4	0.525	0.162	0.074
5	0.500	0.190	0.079
6	0.400	0.095	0.044

جدول رقم (٧) : يبين قيم الشدة مقابل قيمة الطاقة المتكاملة للبروتونات تبعا لقياسات القمر الصناعي Goes11 .

E (MeV)	I(> E) for Protons (protons/ cm ² .Sr.Sec)		
	Kp<4	Kp=4	Kp>4
100	0.199	0.074	0.079
100	0.079		0.044
100	0.490		
100	0.078		
50	0.160	0.162	0.190
50	0.118		0.095
50	0.082		
50	0.143		
10	0.420	0.525	0.500
10	0.200		0.400
10	0.265		
10	0.403		

جدول رقم (٨) : يبين قيم المعامل K_p مقابل قيم المعامل H_p تبعا لقياسات القمرتين الصناعيين Goes11 و Goes12 .

Kp	H _p (n T)	
	according to Goes 11 measurements	according to Goes 12 measurements
0.1	19.1172	24.9994
1	23.5288	41.1754
2	13.2337	25.7346
3	38.2343	27.9398
4	72.0569	72.0569
5	44.1165	24.9994
6	63.2330	47.0589

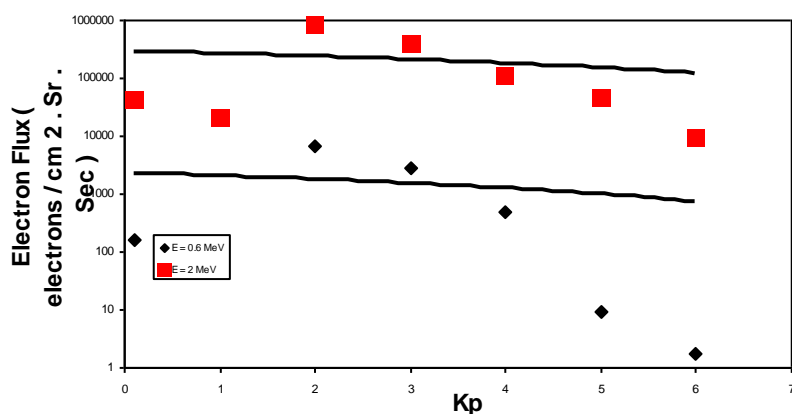


Fig (1) Electron Flux against Kp (0.6 MeV and 2 MeV)
according to Goes 11 .For the Period 9 to 12
November 2006.

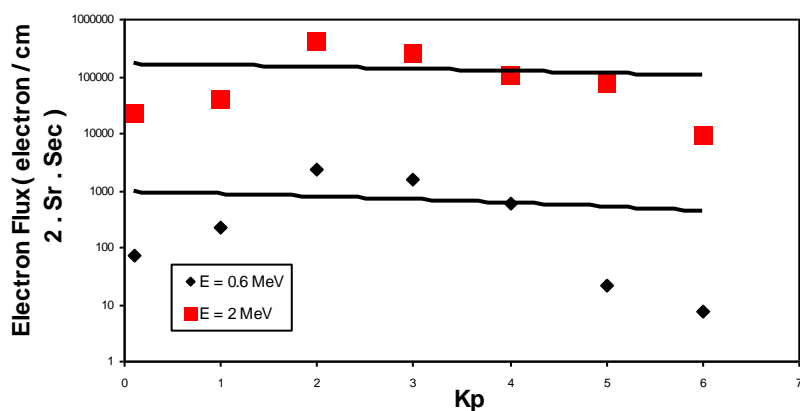


Fig (2) Electron Flux against Kp (0.6 MeV and 2 MeV)
according to Goes 12 .For the Same Period.

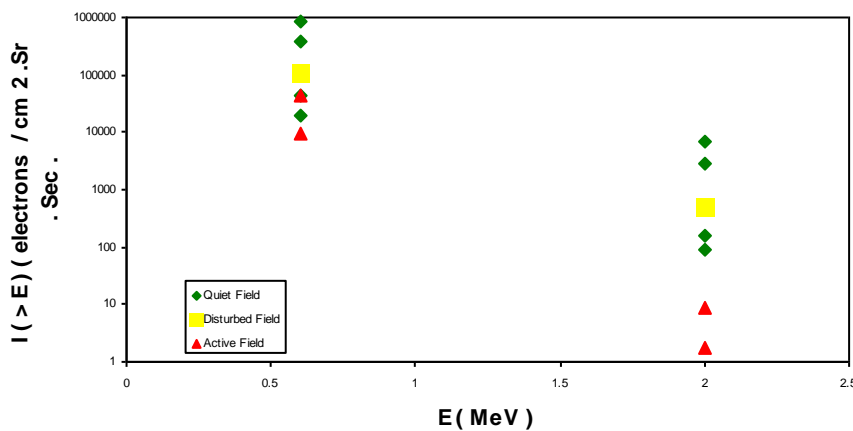


Fig (3) I (>E) against E of Electron Flux according to Goes
11 Measurements .For the Same Period.

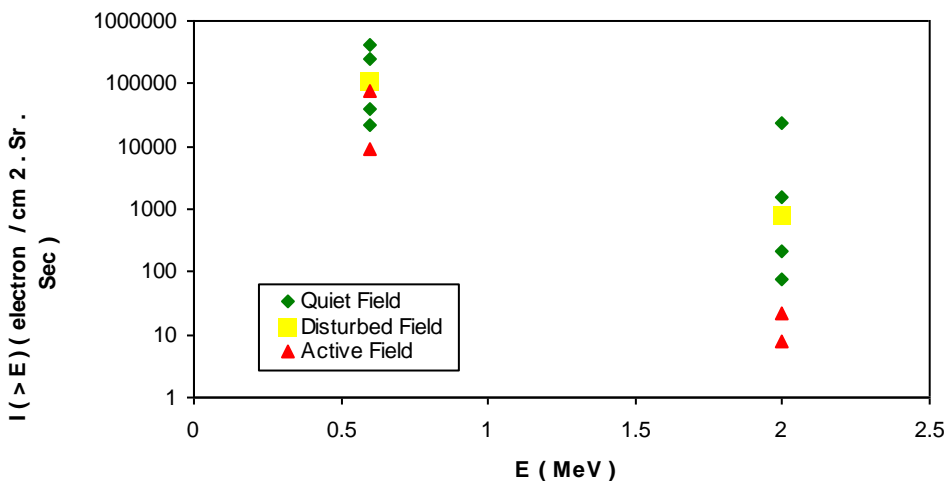


Fig (4) $I(>E)$ against E of Electron Flux according to Goes 12 Measurements For the Same Period.

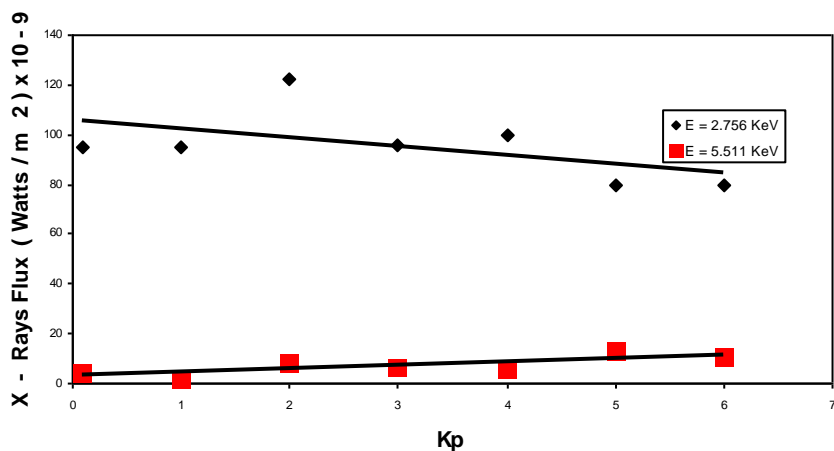


Fig (5) X - Rays Flux against Kp (2.756 KeV and 5.511KeV)according to Goes 11,For the Same Period.

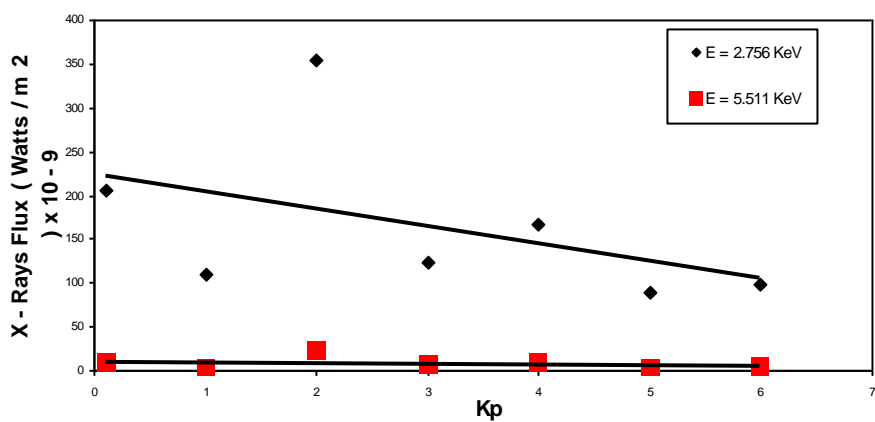


Fig (6) X - Rays against Kp (2.756 KeV and 5.511 KeV) according to Goes 12 .For the Same Period .

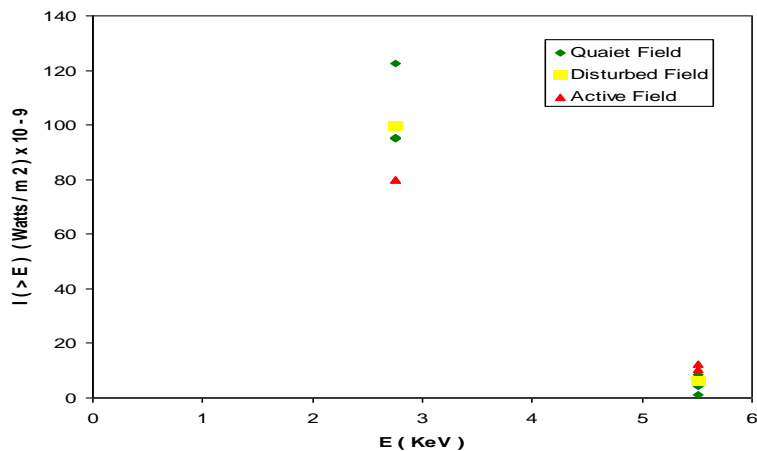


Fig (7) I(> E) against E of X - Rays Flux according to Goes 11 Measurements .

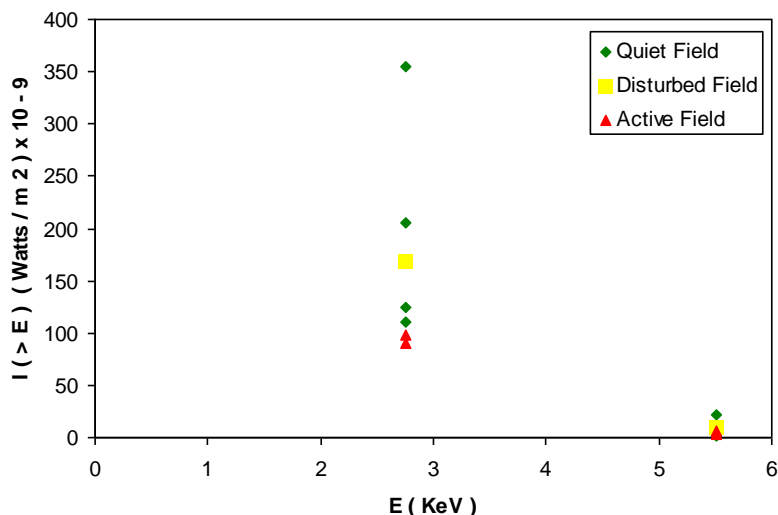


Fig (8) I(> E) against E of X - Rays Flux according to Goes 12 Measurements .

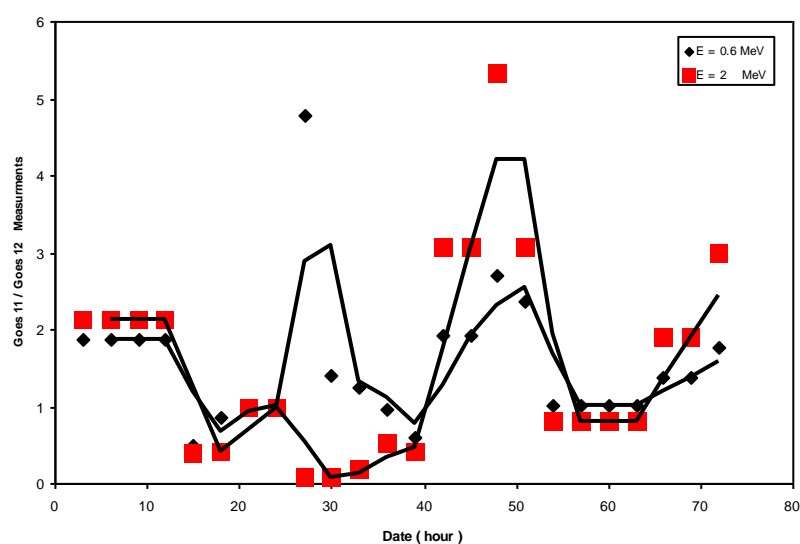


Fig (9) Correlation betw een Goes 11 and Goes 12 Measurements of Electrons Intensities (0.6 MeV and 2 MeV) .

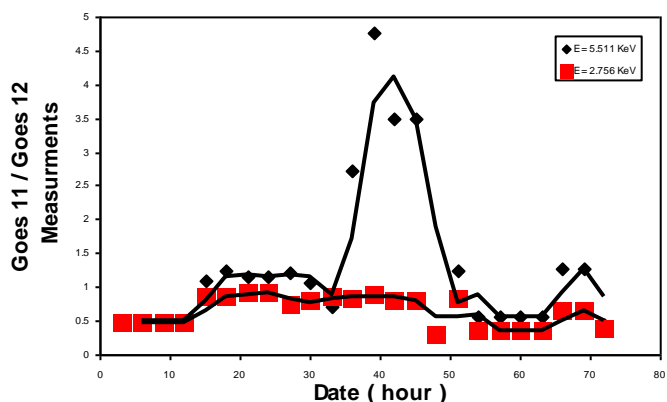


Fig (10) Correlation between Goes 11 and Goes 12 Measurements of X-rays Flux (5.511 KeV and 2.756 KeV).

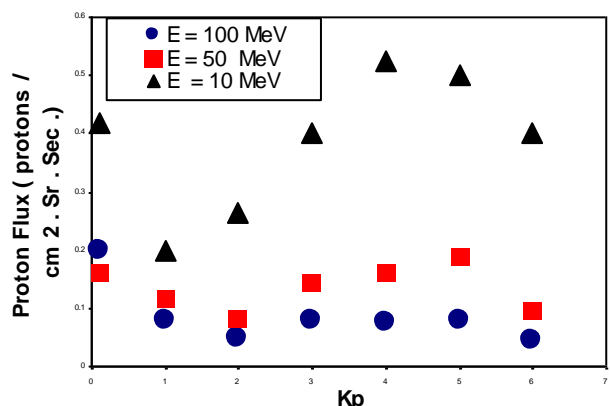


Fig (11) Proton Flux against Kp (100 MeV , 50 MeV and 10 MeV) according to Goes 11 .

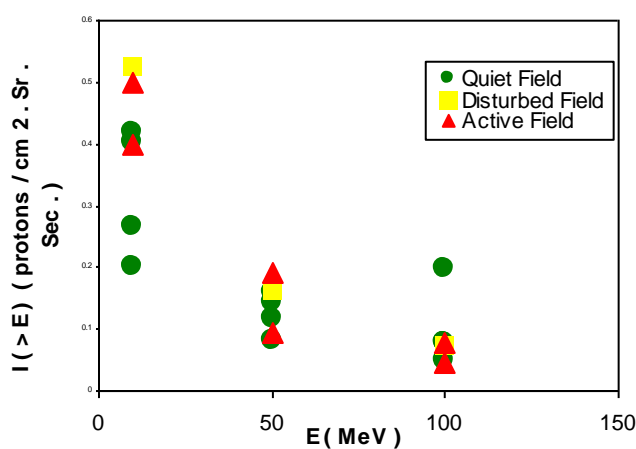


Fig (12) I(> E) against E of Protons Flux according to Goes 11 Measurements .

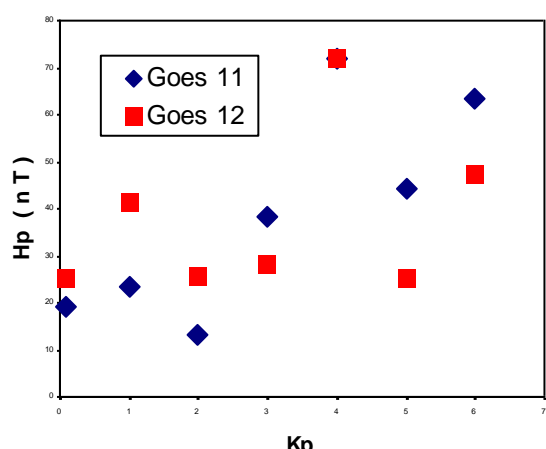


Fig (13) Hp against Kp according to Goes 11 and Goes 12 .